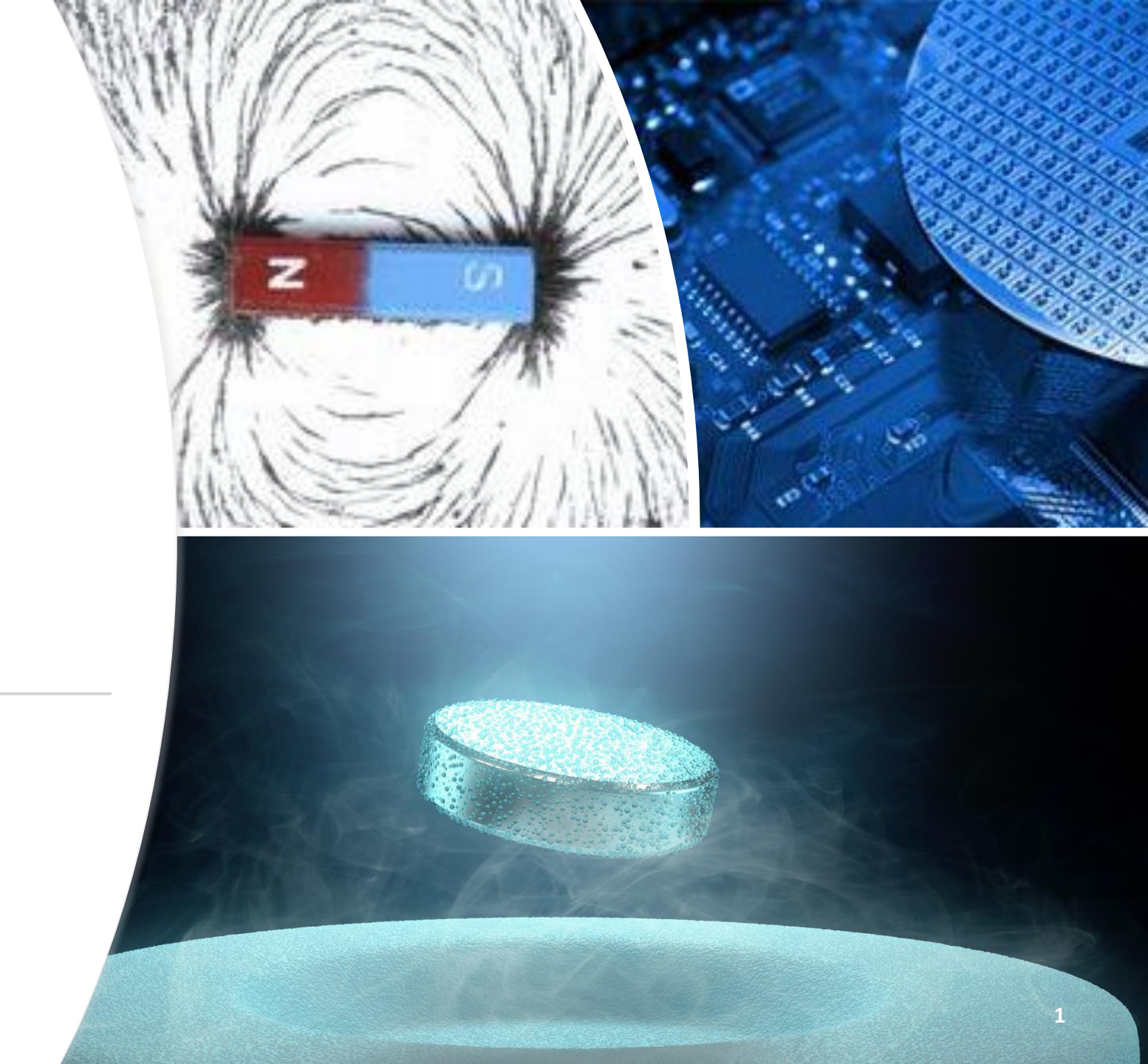
Moderne Experimentalphysik III

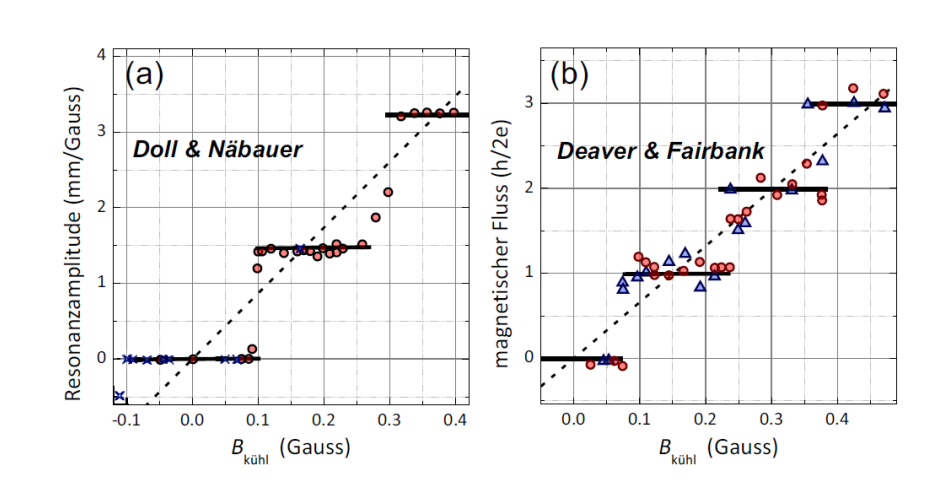
Experimentelle Festkörperphysik

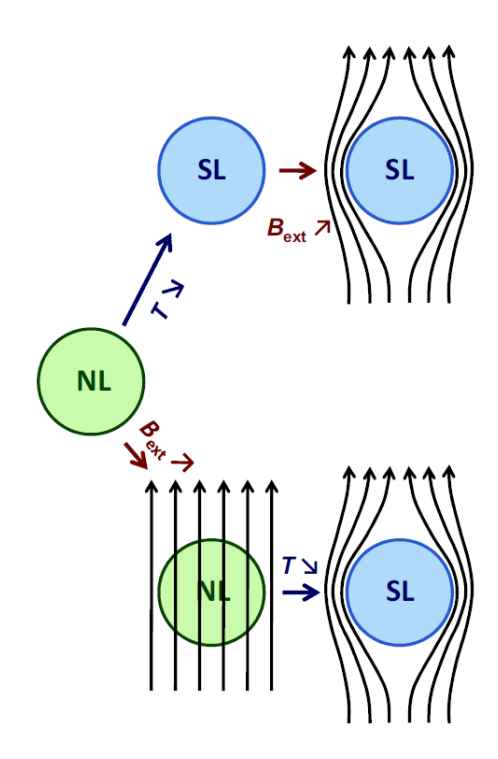
M-PHYS-106295, SoSe 2024

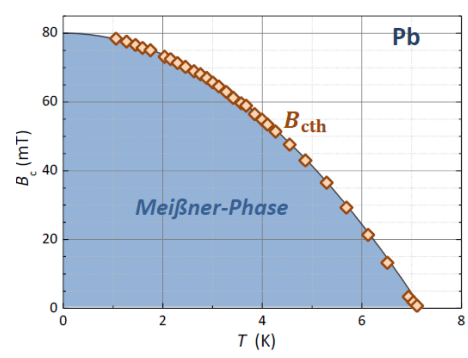


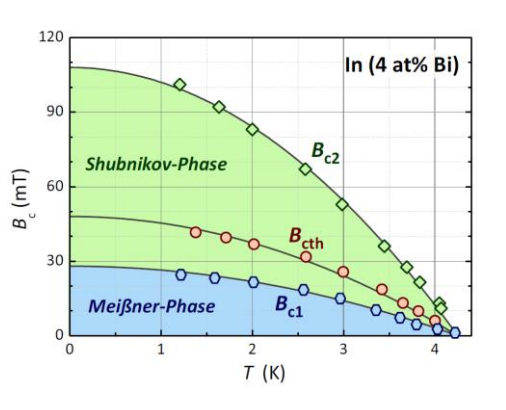
Wiederholung

- Supraleitung führt zu widerstandslosem Stromtransport bei tiefen Temperaturen
- Supraleiter sind perfekte Diamagneten (Meissner-Effekt)
- Typ I und Typ II Supraleiter
- Flussquantisierung



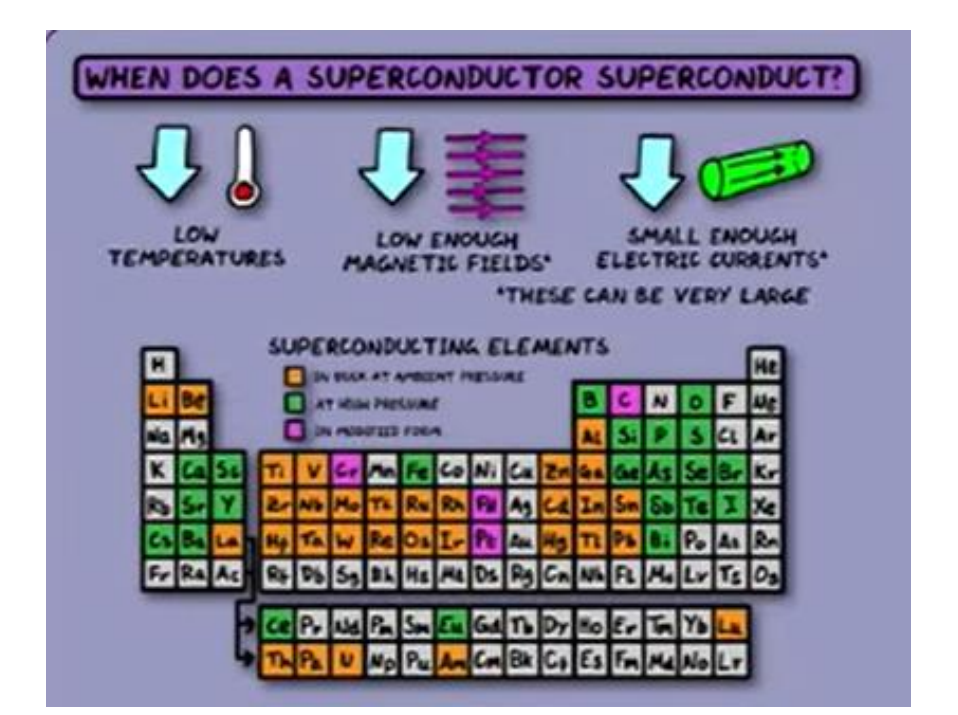


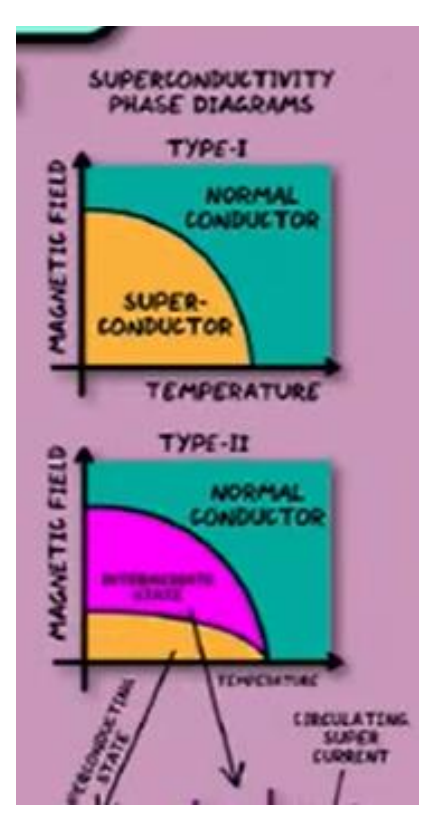


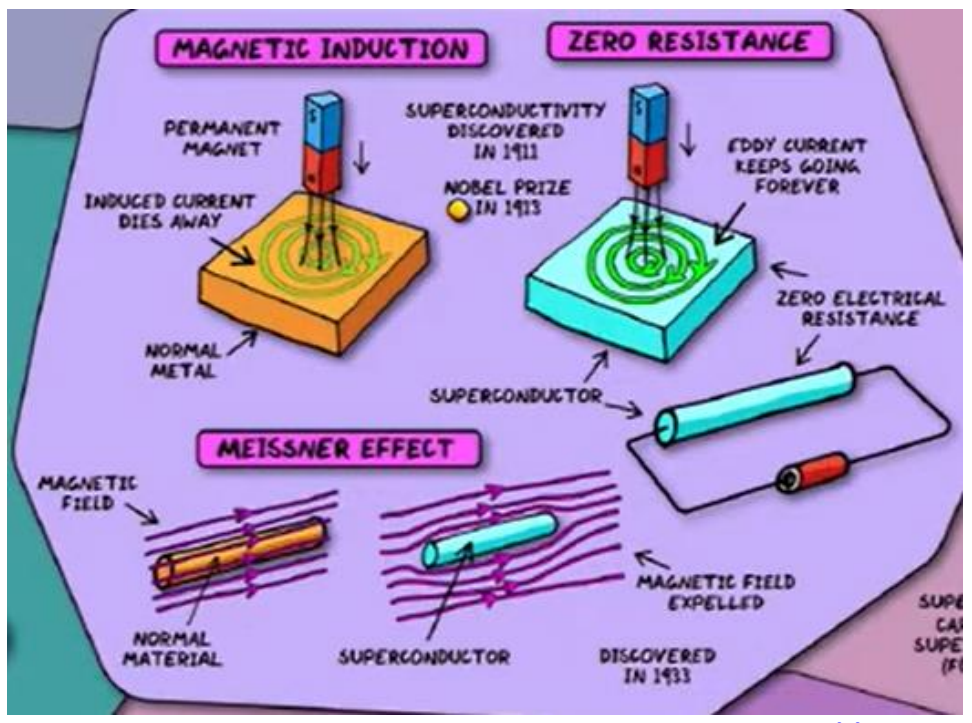


Wiederholung

- Supraleitung führt zu widerstandslosem Stromtransport bei tiefen Temperaturen
- Supraleiter sind perfekte Diamagneten (Meissner-Effekt)
- Typ I und Typ II Supraleiter
- Flussquantisierung







https://www.yout
ube.com/watch?v
=bD2M7P6dTVA

1.1 Einführung: Historie der Supraleitung

Entdeckung und Erklärung der Phänomene Supraleitung & Suprafluidität wurden mit vielen Nobelpreisen ausgezeichnet

- 1908: Verflüssigung von Helium, 4.2 K (Kamerlingh Onnes)
- 1911: Entdeckung der Supraleitung (Kamerlingh Onnes)
- 1933: Meißner-Ochsenfeld-Effekt (Meißner & Ochsenfeld)
- 1935: London Theorie (phänomenologische Beschreibung der SL (Fritz & Heinz London)
- 1936: Typ-II Supraleitung (Shubnikov)
- 1939: Entdeckung von suprafluidem ⁴He (Kapitza, Allen & Misener)
- 1952: Ginzburg-Landau-Theorie (Ginzburg & Landau)
- 1957: Abrikosov-Theory für Typ-II SL (Abrikosov)
- 1957: BCS Theorie (Bardeen, Cooper & Schrieffer)
- 1961: Entdeckung der Fluss-Quantisierung (Doll & Näbauer, Deaver & Fairbank)
- 1962: Vorhersage von Cooper-Paar Tunneln: Josephson-Effekt (Josephson, Giaever)
- 1966: Entwicklung von supraleitenden Quanteninterferometern (Clarke)
- 1971: Entdeckung von suprafluidem ³He (Lee, Richardson & Osheroff)
- 1975: Theoretische Beschreibung von ³He (Leggett)
- 1979: Entdeckung der Schwere-Fermionen-Supraleiter (Steglich)
- 1981: Entdeckung der organischen Supraleiter (Bechgaard)
- 1986: Entdeckung der Hochtemperatur-Supraleitung (Bednorz & Müller)
- 2006: Entdeckung der FeAs-Supraleiter (Hosono)

Lernziele

Phänomenologische Modelle

- I. London-Modell (Zweiflüssigkeiten-Modell)
- II. Supraleitung als makroskopisches Quantenphänomen
- III. Ginzburg-Landau Theorie

Entwicklung der ersten mikroskopischen Theorie der Supraleitung dauerte mehr als 45 Jahre

→ zuerst Beschreibung mit phänomenologischen Modellen





• Beschreibung der perfekten Leitfähigkeit und des Meißner-Ochsenfeld-Effekts mit London-Gleichungen (1935)

Ausgangspunkt ist Bewegungsgleichung für Ladungsträger mit Masse m und Ladung q und mittlerer Streuzeit au

$$m\frac{d\mathbf{v}}{dt} + \frac{\mathbf{v}}{\tau} = q \mathbf{E}$$

(führt normalerweise zum Drude Modell)

Annahme: Wir können Ladungsträger in "zwei Flüssigkeiten" aufteilen

$$n = \mathbf{n_s} + \mathbf{n_n}$$
 mit $\mathbf{n_n} \to 0$ und $\mathbf{n_s} \to n$ für $T \to 0$ mit $\mathbf{n_n} \to n$ und $\mathbf{n_s} \to 0$ für $T \to T_c$

m_s: Masse (effektive Masse)

q_s: Ladung

n_s: Cooper-Paar-Dichte

für Supraflüssigkeit wird $au o \infty$ angenommen, damit $\sigma_{\rm S} = n_{\rm S} q_{\rm S}^2 \tau/m_{\rm S} o \infty$

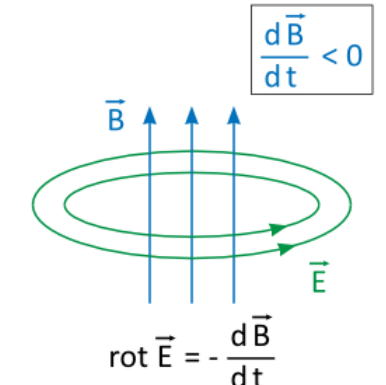
mit allgemeinem Ausdruck $\mathbf{J}_{\scriptscriptstyle S}=n_{\scriptscriptstyle S}q_{\scriptscriptstyle S}oldsymbol{v}_{\scriptscriptstyle S}$ ergibt sich sofort die 1. London-Gleichung

$$\frac{m_s}{q_s^2 n_s} \frac{\partial \mathbf{J}_s}{\partial t} = \mathbf{E}$$

$$\operatorname{mit} \Lambda = m_{\scriptscriptstyle S}/n_{\scriptscriptstyle S}q_{\scriptscriptstyle S}^2 \quad \text{= London-Koeffizient}$$

→ beschreibt widerstandslosen Stromtransport





- mit Faraday'schem Induktionsgesetz $\nabla \times \mathbf{E} = -\partial \mathbf{b}/\partial t$ ergibt sich mit 1. London-Gleichung
 - "Lokale" Flussdichte **b**

$$\frac{\partial (\Lambda \mathbf{J}_s)}{\partial t} = \mathbf{E} \quad \Rightarrow \quad \frac{\partial}{\partial t} [\nabla \times (\Lambda \mathbf{J}_s) + \mathbf{b}] = 0$$

Gleichung gilt allgemein für alle idealen Leiter: magnetischer Fluss durch eine beliebige Fläche innerhalb bleibt zeitlich unverändert

- Beobachtung von Meißner-Ochsenfeld-Effekt
- in Supraleiter muss nicht nur die zeitliche Änderung der Flussdichte, sondern diese selbst verschwinden
- → Klammerausdruck [] selbst und nicht nur seine Zeitableitung muss verschwinden
 - 2. London-Gleichung

$$\nabla \times (\Lambda \mathbf{J}_{\scriptscriptstyle S}) + \mathbf{b} = \mathbf{0}$$

beschreibt *perfekte Feldverdrängung*

zusammen mit den Maxwell-Gleichungen beschreiben die beiden London-Gleichungen das Verhalten von Supraleitern in elektrischen und magnetischen Feldern

Londonsche Eindringtiefe

Rotation der 2. London-Gleichung:

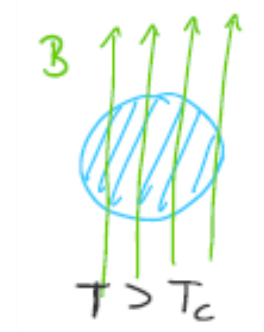
$$\nabla \times (\Lambda \mathbf{J}_s) + \mathbf{b} = \mathbf{0} \quad \Rightarrow \quad \nabla \times \left(\frac{\Lambda}{\mu_0} \nabla \times \mathbf{b}\right) + \mathbf{b} = \mathbf{0} \quad \Rightarrow \quad \mathbf{b} = -\frac{\Lambda}{\mu_0} \nabla \times (\nabla \times \mathbf{b})$$

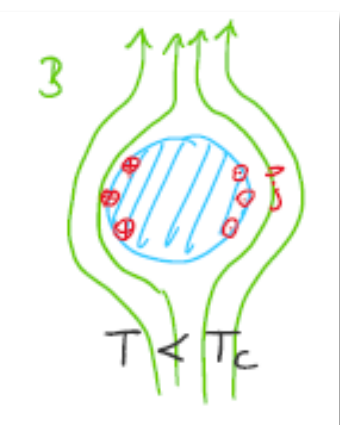
$$\mathbf{\nabla} \times \dot{\mathbf{b}} = \mu_0 \mathbf{J}_s$$

Maxwell-Gleichung ohne Verschiebungsstrom $\partial \mathbf{D}/\partial t$

$$\nabla^2 \mathbf{b} - \frac{\mu_0}{\Lambda} \mathbf{b} = \nabla^2 \mathbf{b} - \frac{1}{\lambda_L^2} \mathbf{b} = \mathbf{0}$$

$$\lambda_{\rm L} = \sqrt{\frac{\Lambda}{\mu_0}} = \sqrt{\frac{m_s}{\mu_0 n_s q_s^2}}$$

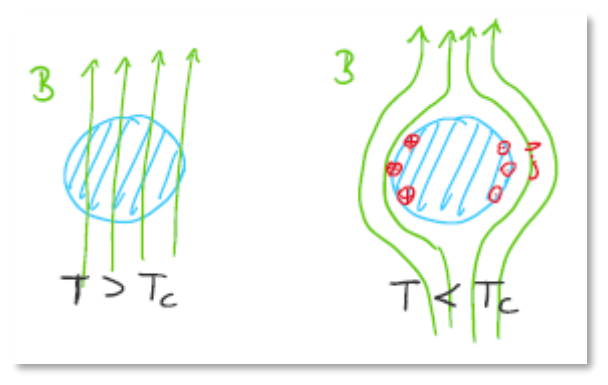




 $\nabla \cdot \mathbf{b} = 0$

 $\nabla \times \nabla \times \mathbf{b} = \nabla(\nabla \cdot \mathbf{b}) - \nabla^2 \mathbf{b}$

Londonsche Eindringtiefe



Feldausstoßung mit Hilfe von Oberflächenströmen

Oberflächenstromdichte j kann nicht unendlich groß werden \rightarrow Eindringtiefe

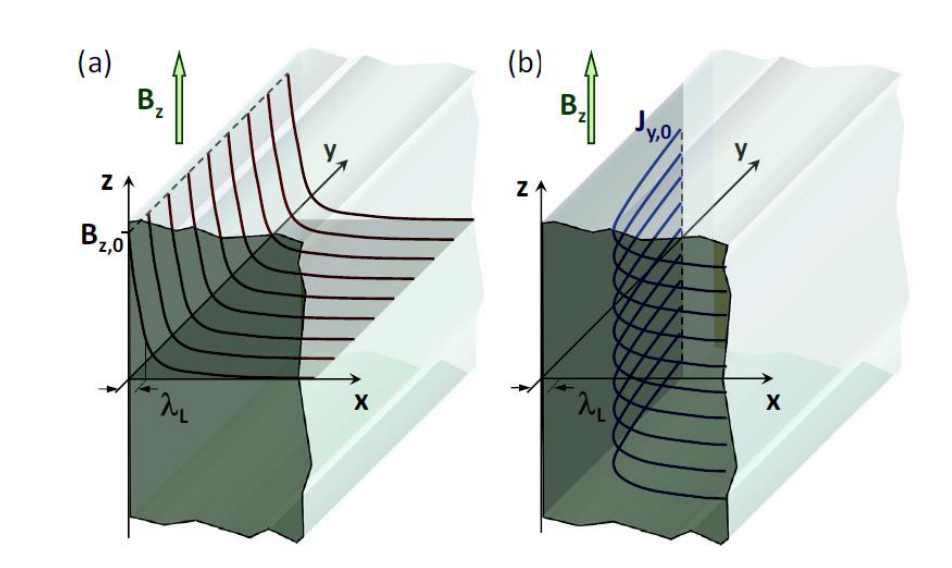
$$\lambda_{\rm L}=\sqrt{\frac{\Lambda}{\mu_0}}=\sqrt{\frac{m_{\rm S}}{\mu_0 n_{\rm S} q_{\rm S}^2}}$$
 $\Lambda=\frac{m_{\rm S}}{q_{\rm S}^2 n_{\rm S}}=$ London-Koeffizient

$$\Lambda = \frac{m_{s}}{q_{s}^{2} n_{s}} = \text{London-Koeffizient}$$

(im Wesentlichen bestimmt durch Dichte der "supraleitenden" Ladungsträger)

Wichtig: durch Messung von λ_L können wir nicht auf Cooper-Paare schließen!

$$B_z(x) = B_{z,0} \cdot \exp(-x/\lambda_L)$$



- → sowohl Magnetfeld als auch Stromdichte klingen exponentiell im Inneren des Supraleiters ab
- + charakteristische Längenskala ist London-Eindringtiefe: typische Werte liegen zwischen 0.01 und 1 μm

Temperaturabhängigkeit:
$$\lambda_{\rm L} = \frac{\lambda_{\rm L}(0)}{\sqrt{1-(T/T_c)^4}}$$

(empirische Formel: Gorter & Kasimir, 1934)

 $\lambda_{\rm L}(T)$ divergiert für $T o T_c$

- Herleitung der London-Gleichungen durch die Annahme möglich, dass der supraleitende Grundzustand mit einer makroskopischen Wellenfunktion beschrieben werden kann (ähnlich wie Photonen in einem Laser)
- Fritz London (1948): Ableitung der London-Gleichungen mit grundlegenden quantenmechanischen Konzepten
- Beleg für Gültigkeit dieses Ansatzes: Josephson-Effekt, Fluss-Quantisierung (vgl. atomare Orbitale)
- Theoretische Begründung durch BCS-Theorie (1957)

Grundhypothese: es existiert eine makroskopische Wellenfunktion

$$\psi_{s}(\mathbf{r},t) = \psi_{0}(\mathbf{r},t) e^{i\theta(\mathbf{r},t)}$$

welche die Gesamtheit der supraleitenden Elektronen beschreibt

Normierung:

$$\int \psi^*(\mathbf{r},t)\psi(\mathbf{r},t)dV = N_s$$

$$|\psi(\mathbf{r},t)|^2 = \psi^*(\mathbf{r},t) \, \psi(\mathbf{r},t) = n_s(\mathbf{r},t)$$

Wichtig: Im Gegensatz zur üblichen Interpretation von $|\psi_s(\mathbf{r}, t)|^2$ als quantenmechanische Wahrscheinlichkeit ein Teilchen am Ort \mathbf{r} zur Zeit t aufzufinden, assoziieren wir $|\psi_s(\mathbf{r}, t)|^2$ jetzt mit der Teilchenzahldichte $n_s(\mathbf{r}, t)$.

Schrödinger-Gleichung für geladenes Teilchen:

$$\frac{1}{2m} \left(\frac{\hbar}{i} \nabla \right)^{2} \Psi(\mathbf{r}, t) + \left[q \phi_{\text{el}}(\mathbf{r}, t) + \mu(\mathbf{r}, t) \right] \Psi(\mathbf{r}, t) = i\hbar \frac{\partial \Psi(\mathbf{r}, t)}{\partial t}$$
(elektrochemisches Potenzial)

Madelung-Transformation: wir machen folgende Ersetzungen

$$\Psi(\mathbf{r},t) \rightarrow \psi_{S}(\mathbf{r},t) = \psi_{0}(\mathbf{r},t) e^{i\theta(\mathbf{r},t)}$$

$$m \rightarrow m_{S}$$

$$q \rightarrow q_{S}$$

$$\mathbf{J}_{S}(\mathbf{r},t) = \frac{q_{S}n_{S}(\mathbf{r},t)\hbar}{m_{S}} \left\{ \nabla \theta(\mathbf{r},t) - \frac{q_{S}}{\hbar} \mathbf{A}(\mathbf{r},t) \right\}$$

Strom-Phasen-Beziehung (eichinvariant, resultiert aus dem Imaginärteil) ohne $q\mathbf{A}(\mathbf{r},t)$

Benutze

$$\mathbf{J}_{s} = \frac{q_{s}\hbar}{2m_{s}\iota} \left(\psi^{*} \nabla \psi - \psi \nabla \psi^{*} \right)$$

https://de.wikipedia.org/wiki/ Wahrscheinlichkeitsstromdichte



Suprastromdichte ist proportional zu eichinvariantem Phasengradienten (im Normalleiter ist $\mathbf{J}_n \propto -\nabla \phi = \mathbf{E}$)

$$\hbar \frac{\partial \theta(\mathbf{r}, t)}{\partial t} = -\left\{ \frac{1}{2n_s} \Lambda J_s^2(\mathbf{r}, t) + q_s \phi_{\text{el}}(\mathbf{r}, t) + \mu(\mathbf{r}, t) \right\}$$
Gesamtenergie

Energie-Phasen-Beziehung

(resultiert aus dem Realteil)

 \rightarrow Beziehung wird Energie-Phasen-Beziehung genannt, da $\partial\theta/\partial t \propto$ Gesamtenergie



Anwendung des makroskopische Quantenmodells sowohl für die Beschreibung von geladenen als auch von ungeladenen Quantenflüssigkeiten

$$q_s = k \cdot q$$
 $m_s = k \cdot m$ $n_s = n/k$

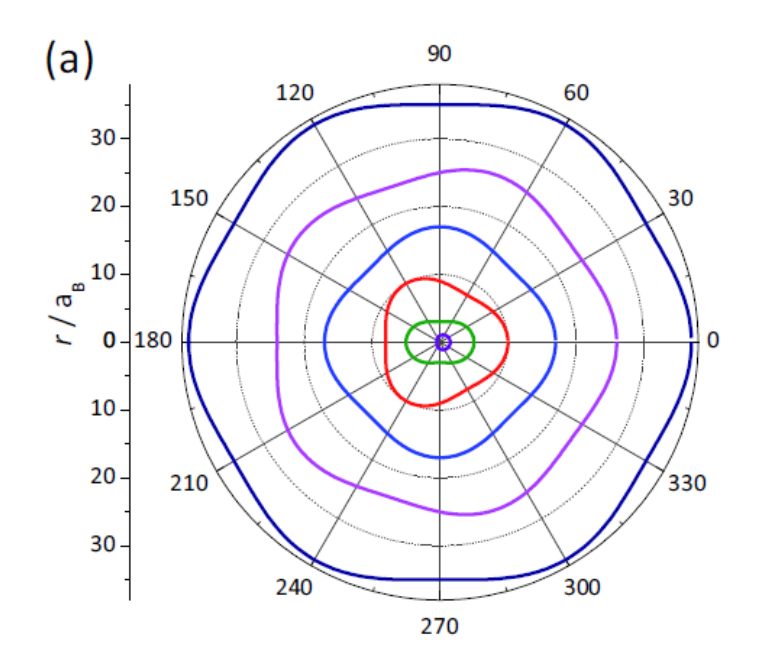
i. q = -e, k = 2: klassischer Supraleiter mit $n_{\rm S}=-2e$, $m_{\rm S}=2m$ und $n_{\rm S}=m/2$

ii. q = 0, k = 1: neutrale Bose-Supraflüssigkeit mit $n_s = n$, $m_s = m$ (suprafluides 4He)

iii. q = 0, k = 2: neutrale Fermi-Supraflüssigkeit mit $n_{\rm S}=n/2$, $m_{\rm S}=2m$ (suprafluides 3He)

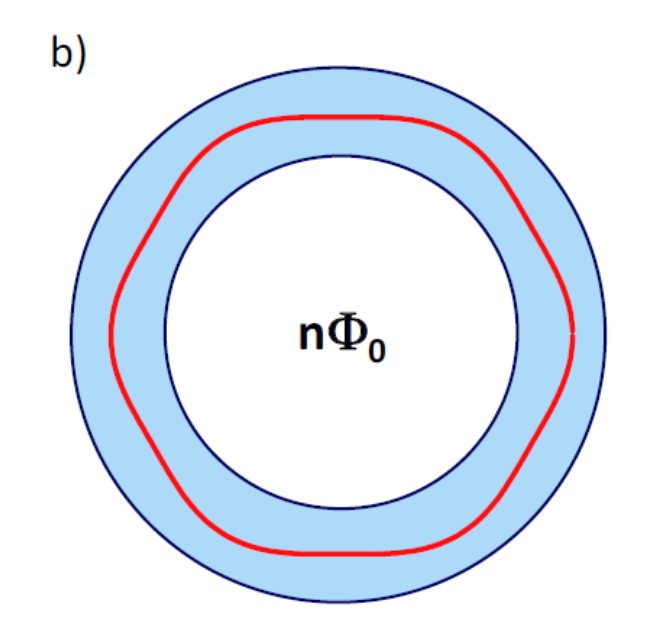
Atomare Wellenfunktion

Bohr-Sommerfeld Quantisierung



Geschlossene SL Leiterschleife

Bohr-Sommerfeld Quantisierung



Strom-Phasen-Beziehung

$$\oint_{C} (\Lambda \mathbf{J}_{s}) \cdot d\boldsymbol{\ell} \propto
\int_{\mathbf{r}_{1}}^{\mathbf{r}_{2}} \nabla \theta \cdot d\boldsymbol{\ell} = \theta(\mathbf{r}_{2}, t) - \theta(\mathbf{r}_{1}, t)$$

Muss geschlossene Pfade ergeben:

$$\oint_C \nabla \theta \cdot d\boldsymbol{\ell} = \lim_{\mathbf{r}_2 \to \mathbf{r}_1} [\theta(\mathbf{r}_2, t) - \theta(\mathbf{r}_1, t)] = n \cdot 2\pi$$

Flussquantisierung

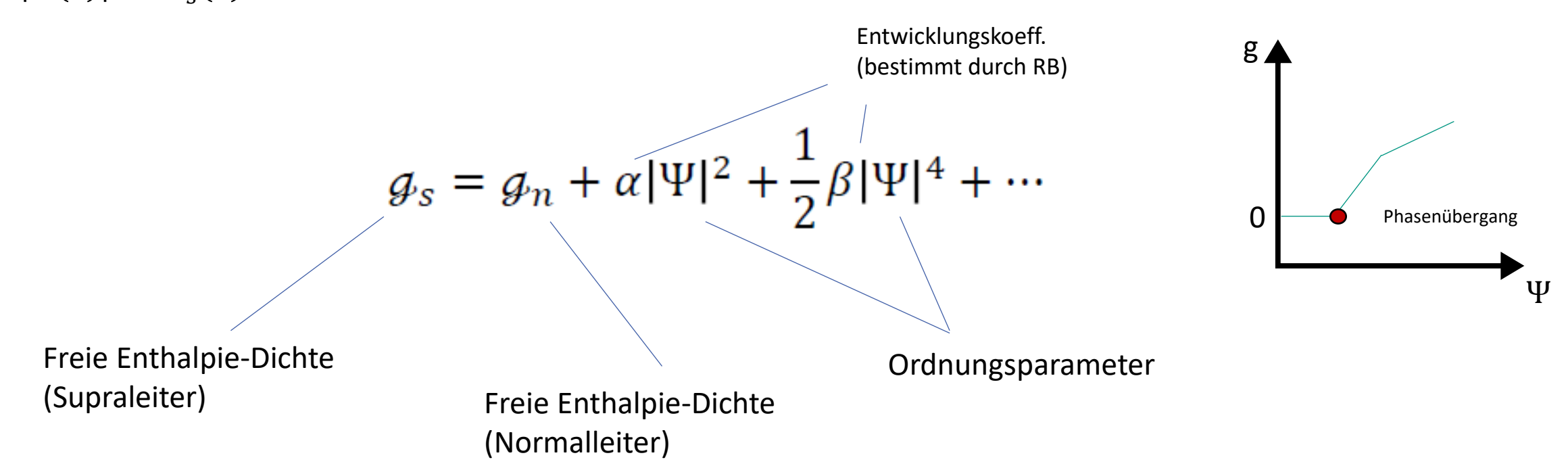
$$\underbrace{\oint_C (\Lambda \mathbf{J}_s) \cdot d\boldsymbol{\ell} + \int_F \mathbf{b} \cdot d\mathbf{F}}_{\text{Fluxoid}} = n \frac{h}{q_s} = n \Phi_0$$

Interpretation und Bedeutung der London-Gleichungen

- Die London-Gleichungen können direkt aus dem allgemeinen Ausdruck für die Suprastromdichte J_S abgeleitet werden, der wiederum direkt aus der Tatsache folgt, dass der supraleitende Zustand durch eine makroskopische Wellenfunktion beschrieben werden kann (Siehe Übungsaufgabe).
- London-Gleichungen beschreiben zeitabhängige Phänomene, sind aber nicht geeignet zur Beschreibung von räumlich inhomogenen Situationen (bei Herleitung wurde $|\psi_s(\mathbf{r},t)|^2 = const$ angenommen)

Beschreibung von räumlich homogenem Supraleiter ohne Magnetfeld

- Beschreibung des Übergangs in den supraleitenden Zustand im Rahmen der Landau-Theorie der Phasenübergänge
- Entwicklung der freien Enthalpiedichte nach Potenzen des Ordnungsparameters Ψ mit $|\Psi_0(\mathbf{r})|^2 = |\Psi(\mathbf{r})|^2 = n_s(\mathbf{r}) = const.$



Beschreibung von räumlich homogenem Supraleiter ohne Magnetfeld

- Beschreibung des Übergangs in den supraleitenden Zustand im Rahmen der Landau-Theorie der Phasenübergänge
- Entwicklung der freien Enthalpiedichte nach Potenzen des Ordnungsparameters Ψ mit $|\Psi_0(r)|^2 = |\Psi(r)|^2 =$ $n_{s}(\mathbf{r}) = const.$

$$g_s = g_n + \alpha |\Psi|^2 + \frac{1}{2}\beta |\Psi|^4 + \cdots$$
 mit α

Muss positiv sein...

im thermodynamischen Gleichgewicht muss *qs* minimal sein

$$\frac{\partial g_s}{\partial |\Psi|} = 0 \Rightarrow |\Psi_0(T)|^2 = -\frac{\alpha(T)}{\beta}$$

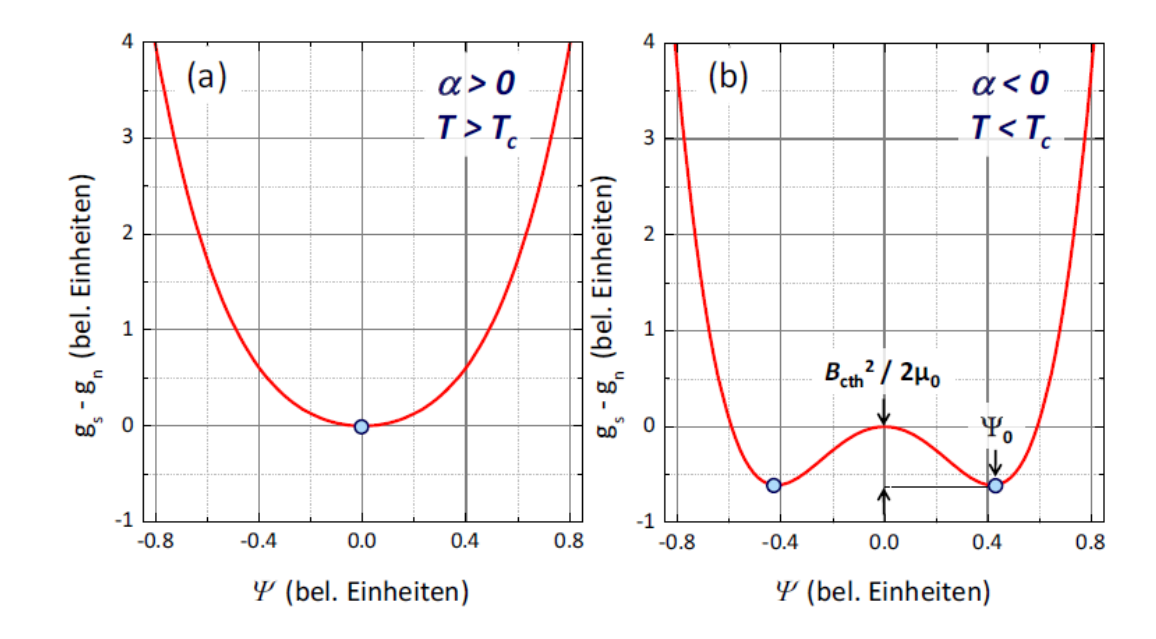
$$n_s(T) = |\Psi_0(T)|^2 = -\frac{\alpha(T)}{\beta} = \frac{\bar{\alpha}}{\beta} \left(1 - \frac{T}{T_c} \right)$$

• physikalische Bedeutung der Entwicklungskoeffizienten

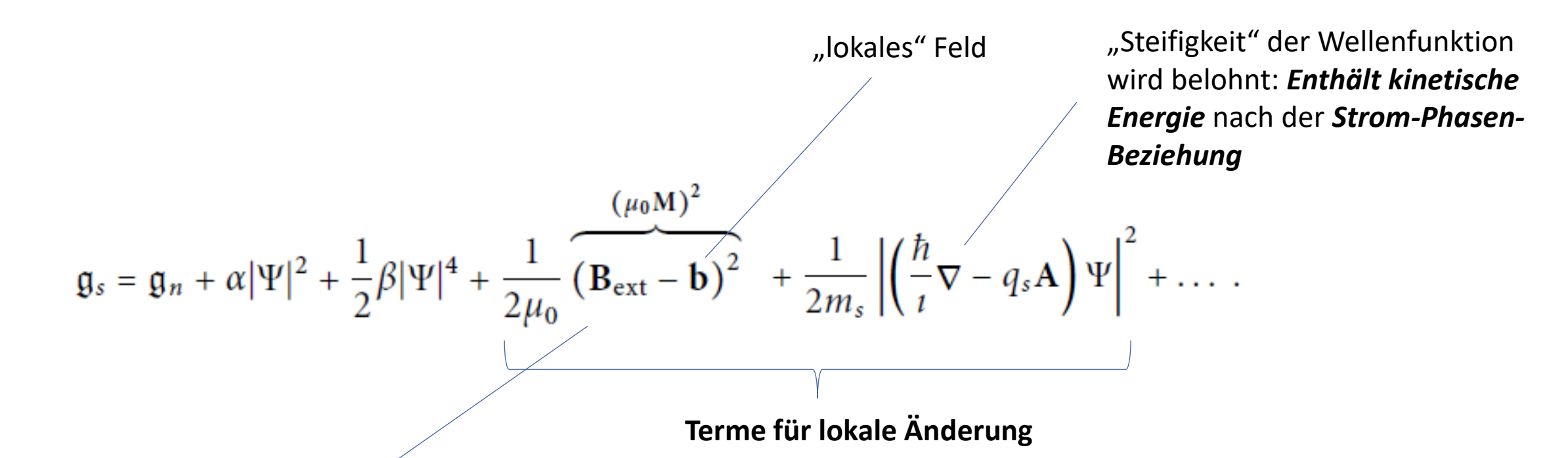
Aus Gleichung auf der letzten Seite

$$g_s - g_n = -\frac{B_{\rm cth}^2(T)}{2\mu_0} = \alpha(T)|\Psi_0(T)|^2 + \frac{1}{2}\beta|\Psi_0(T)|^4 + \dots = -\frac{\overline{\alpha}^2}{2\beta}\left(1 - \frac{T}{T_c}\right)^2$$

$$\rightarrow \bar{\alpha} = \left[\frac{B_{\rm cth}^2(0)}{2\mu_0}\right]/n_s(0)$$
 entspricht der Kondensationsenergie pro supraleitendem Ladungsträger



• Ginzburg und Landau wollten jetzt aber eine ortsabhängige Theorie mit Magnetfeld...



Vom Supraleiter zu leistende Feldverdrängungsarbeit

Nach etwas Rechnung kommt man zu den Ginzburg-Landau Gleichungen

1. Ginzburg-Landau Gleichung

$$0 = \frac{1}{2m_s} \left(\frac{\hbar}{i} \nabla - q_s \mathbf{A}\right)^2 \Psi + \alpha \Psi + \beta |\Psi|^2 \Psi$$

2. Ginzburg-Landau Gleichung

$$\mathbf{J}_{s} = \frac{q_{s}\hbar}{2m_{s}} \frac{1}{i} (\Psi^{*}\nabla\Psi - \Psi\nabla\Psi^{*}) - \frac{q_{s}^{2}}{m_{s}} |\Psi|^{2} \mathbf{A}$$

GL-Gleichungen sind nichtlinear → reichhaltiges Lösungsspektrum

Vergleich der Ergebnisse von Ginzburg-Landau Theorie und makroskopischem Quantenmodell

- *GL Theorie* kann Situationen mit räumlich variierendem OP beschreiben, aber keine zeitabhängigen Phänomene (Gleichungen enthalten keine Zeitableitung)
- makroskopisches Quantenmodell kann Situationen mit ortsabhängiger Dichte der supraleitenden Elektronen nicht beschreiben, dafür aber zeitabhängige Phänomene (z.B. Josephson Effekt)

Vergleich der Ergebnisse von Ginzburg-Landau Theorie und makroskopischem Quantenmodell

makroskopisches Quantenmodell

i. Strom-Phasen-Beziehung

$$\mathbf{J}_{s}(\mathbf{r},t) = q_{s}n_{s}(\mathbf{r},t) \left\{ \frac{\hbar}{m_{s}} \nabla \theta(\mathbf{r},t) - \frac{q_{s}}{m_{s}} \mathbf{A}(\mathbf{r},t) \right\}$$

bei Herleitung wird $|\psi(\mathbf{r},t)|^2 = n_s(r,t)$ als räumlich konstant angenommen

ii. Energie-Phasen-Beziehung

$$\hbar \frac{\partial \theta(\mathbf{r}, t)}{\partial t} = -\left\{ \frac{1}{2n_s} \Lambda J_s^2(\mathbf{r}, t) + q_s \phi_{\text{el}}(\mathbf{r}, t) + \mu(\mathbf{r}, t) \right\}$$

III.

keine entsprechende Gleichung, da $\psi(r,t)$ als räumlich konstant angenommen wurde

Ginzburg-Landau Theorie

i. 2. Ginzburg-Landau Gleichung

$$\mathbf{J}_{s} = \frac{q_{s}\hbar}{2m_{s}} \frac{1}{i} (\Psi^{*}\nabla\Psi - \Psi\nabla\Psi^{*}) - \frac{q_{s}^{2}}{m_{s}} |\Psi|^{2} \mathbf{A}$$

geht für $|\psi(r)|^2 = n_s(r) = const$ in Strom-Phasen-Beziehung über

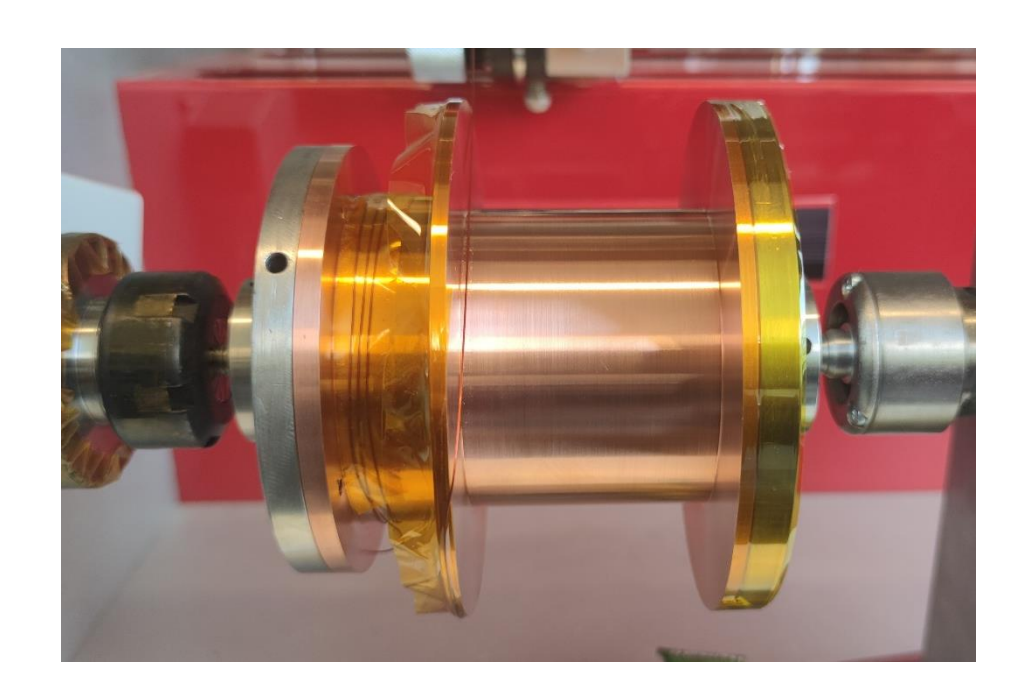
ii.

keine entsprechende Gleichung, da $\psi(r)$ nur räumliche aber keine zeitliche Variation enthält

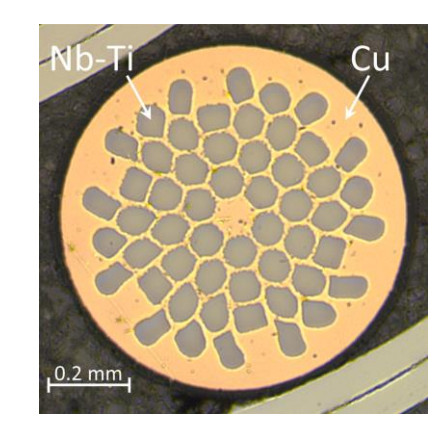
iii. 1. Ginzburg-Landau Gleichung

$$0 = \frac{1}{2m_s} \left(\frac{\hbar}{i} \nabla - q_s \mathbf{A} \right)^2 \Psi + \alpha \Psi + \beta |\Psi|^2 \Psi$$

Supraleitende Spulen







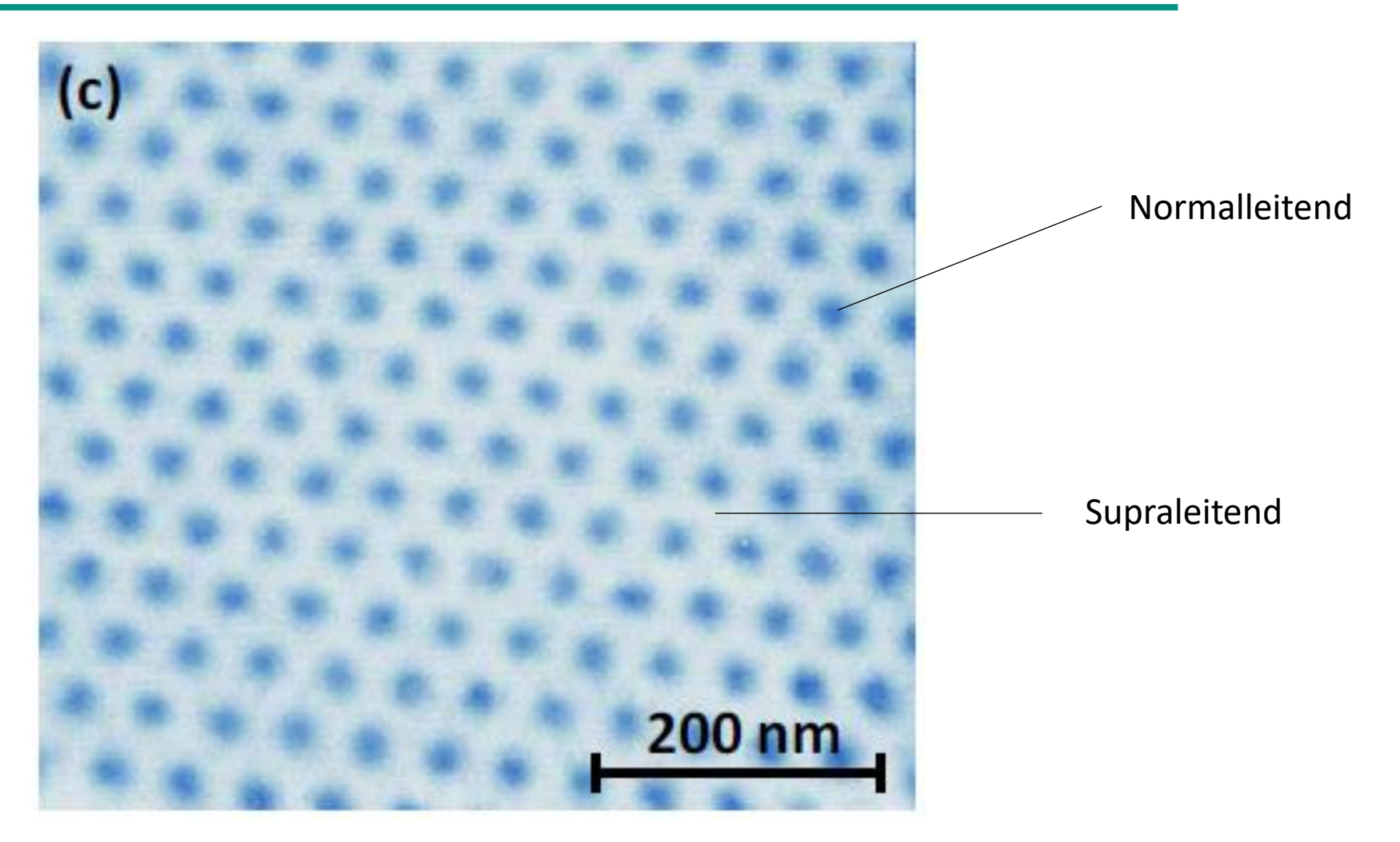
630m of 0.44mm SC wire (NbTi), i.e., 320mT @ 10A

Typ II Supraleiter

Flussliniengitter

NbSe₂

Typ II SC $T_c = 7.2 \text{ K}$



Mit einem Rastertunnelmikroskop gewonnene Abbildung eines für $B_{\rm ext}=1~T$ erhaltenen Flussliniengitters in einem NbSe2-Einkristall

https://journals.aps.org/pr l/pdf/10.1103/PhysRevLett .62.214

Charakteristische Längenskalen

2. Ginzburg-Landau Gleichung

$$\mathbf{J}_{s} = \frac{q_{s}\hbar}{2m_{s}} \frac{1}{i} (\Psi^{*}\nabla\Psi - \Psi\nabla\Psi^{*}) - \frac{q_{s}^{2}}{m_{s}} |\Psi|^{2} \mathbf{A}$$

liefert 1. und 2. London-Gleichung und charakteristische Abschirmlänge für magnetische Flussdichte

$$\lambda_{\mathrm{GL}} = \sqrt{-\frac{m_s \beta}{\mu_0 \alpha q_s^2}} = \sqrt{\frac{m_s}{\mu_0 n_s q_s^2}}$$
 Ginzburg-Landau Eindringtiefe mit $\alpha(T) = \bar{\alpha}(1 - T/T_c)$ und $n_s(T) = -\alpha(T)/\beta$

Ginzburg-Landau Eindringtiefe

mit
$$\alpha(T) = \bar{\alpha}(1 - T/T_c)$$
 und $n_s(T) = -\alpha(T)/\beta$

1. Ginzburg-Landau Gleichung

$$0 = \frac{1}{2m_s} \left(\frac{\hbar}{i} \nabla - q_s \mathbf{A} \right)^2 \Psi + \alpha \Psi + \beta |\Psi|^2 \Psi$$

$$0 = \frac{\hbar^2}{2m_s\alpha} \left(\frac{1}{i}\nabla - \frac{q_s}{\hbar}\mathbf{A}\right)^2 \psi + \psi + |\psi|^2 \psi \qquad \qquad \xi_{\rm GL}^2 \frac{d^2\psi}{dx^2} + \psi - \psi^3 = 0$$

$$\xi_{\rm GL} = \sqrt{-\frac{\hbar^2}{2m_s\alpha}} \qquad \qquad \textbf{Ginzburg-Landau Kohärenzlänge}$$

Ginzburg-Landau Kohärenzlänge

Interpretation von ξ_{GL} : für kleine ψ (e.g. nahe T_c) \rightarrow $\xi_{GL}^2 \frac{d^2 \psi}{dx^2} + \psi -$ \longrightarrow Exponentielles abklingen jeder Störung

- physikalische Interpretation der charakteristischen Längenskalen:
- \triangleright *GL-Eindringtiefe* λ_{GL} : Abschirmung von räumlichen Variationen der lokalen Flussdichte auf Skala $<\lambda_{GL}$ kostet Energie, welche die Kondensationsenergiedichte $B_{cth}^2/2\mu_0$ übersteigt
- ightharpoonup GL-Kohärenzlänge ξ_{GL} : räumliche Variation der Amplitude oder Phase des OPs auf Skala $<\xi_{GL}$ kostet Energie, welche die Kondensationsenergiedichte $B_{cth}^2/2\mu_0$ übersteigt

Charakteristische Längenskalen

Supraleiter	$\xi_{GL}(0)$ (nm)	$\lambda_L(0)$ (nm)	κ
Al	1600	50	0.03
Cd	760	110	0.14
In	1100	65	0.06
Nb	106	85	0.8
NbTi	4	300	75
Nb ₃ Sn	2.6	65	25
NbN	5	200	40
Pb	100	40	0.4
Sn	500	50	0.1

$$\lambda_{\rm L}(T) = \frac{\lambda_{\rm GL}(0)}{\sqrt{1 - \frac{T}{T_c}}}$$

$$\xi_{\rm GL}(T) = \frac{\xi_{\rm GL}(0)}{\sqrt{1 - \frac{T}{T_c}}}$$

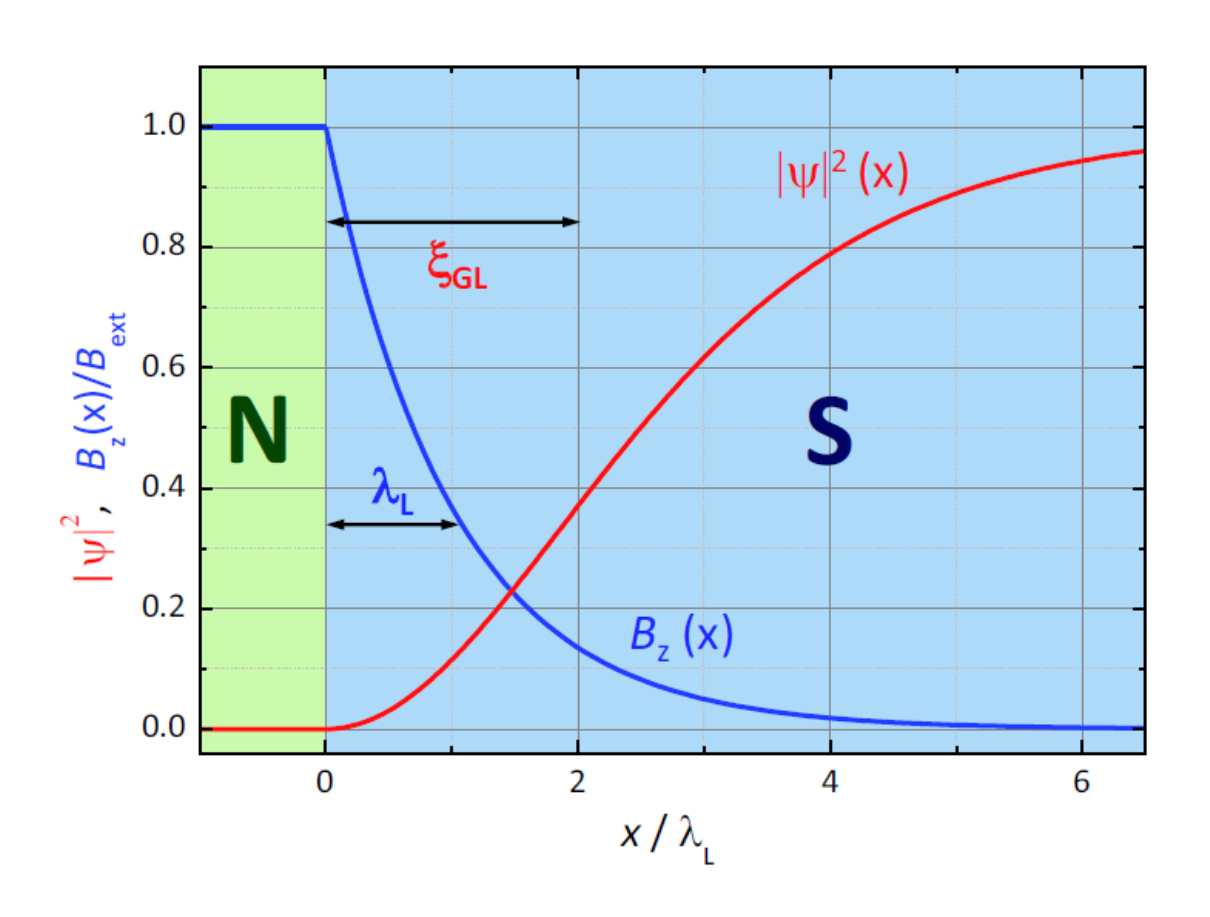
Ginzburg-Landau Parameter

$$\kappa \equiv \frac{\lambda_{\rm L}}{\xi_{\rm GL}} = \frac{\sqrt{2}m_s}{\mu_0 q_s \hbar n_{\rm s}(T)} B_{\rm cth}(T)$$

$$\kappa \le \frac{1}{\sqrt{2}}$$
 Typ-I Supraleiter $\kappa \ge \frac{1}{\sqrt{2}}$ Typ-II Supraleiter

$$\kappa \ge \frac{1}{\sqrt{2}}$$
 Typ-II Supraleiter

Supraleiter-Normalleiter Grenzflächenenergie



$$\xi_{\rm GL}^2 \frac{d^2 \psi}{dx^2} + \psi - \psi^3 = 0$$

 $\psi(x=0) = 0$, $\psi(x \to \infty) = 1$ und $\lim_{x \to \infty} d\psi/dx = 0$

$$\psi(x) = \tanh\left(\frac{x}{\sqrt{2}\xi_{\rm GL}}\right)$$

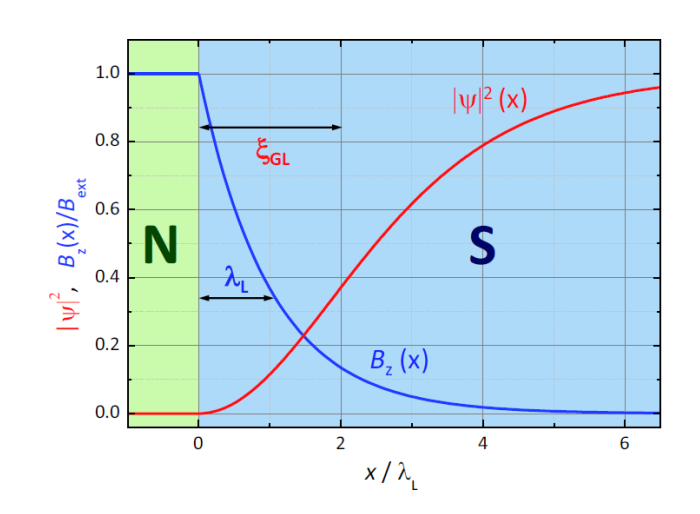
$$\frac{n_s(x)}{n_s(\infty)} \propto |\psi(x)|^2 = \tanh^2\left(\frac{x}{\sqrt{2}\xi_{\rm GL}}\right)$$

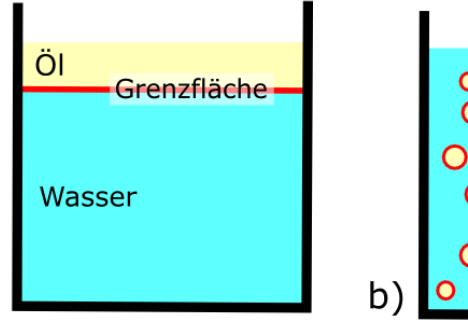
 Zu leistende Magnetfeldverdrängungsarbeit pro Flächeneinheit ist erhöht um den Betrag

$$\Delta E_B \simeq -\frac{B_{\rm ext}^2}{2\mu_0} \frac{V}{F} = -\frac{B_{\rm ext}^2}{2\mu_0} \lambda_{\rm L} = -\frac{B_{\rm cth}^2(T)}{2\mu_0} \left(\frac{B_{\rm ext}}{B_{\rm cth}(T)}\right)^2 \lambda_{\rm L}$$

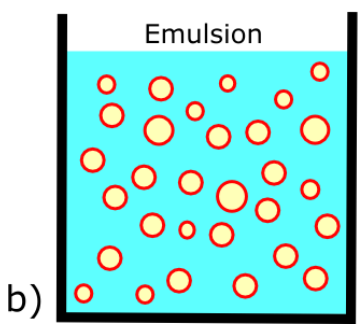
- Dichte der supraleitenden Elektronen ist in einer Grenzflächenschicht der Dicke ξ_{GL} reduziert.
- Der damit verbundene Verlust an Kondensationsenergie pro Flächeneinheit, der zu einer Erhöhung der Gesamtenergie führt

$$\Delta E_C \simeq \left[\mathfrak{g}_n(T) - \mathfrak{g}_s(T)\right] \frac{V}{F} = \frac{B_{\text{cth}}^2(T)}{2\mu_0} \xi_{\text{GL}}$$





a)



• Ginzburg-Landau Parameter

$$\kappa \equiv \frac{\lambda_{\rm GL}}{\xi_{\rm GL}} = \sqrt{\frac{2m_s^2\beta}{\mu_0\hbar^2q_s^2}} = \sqrt{\frac{\beta}{2\mu_0}}\,\frac{1}{\mu_{\rm B}}$$

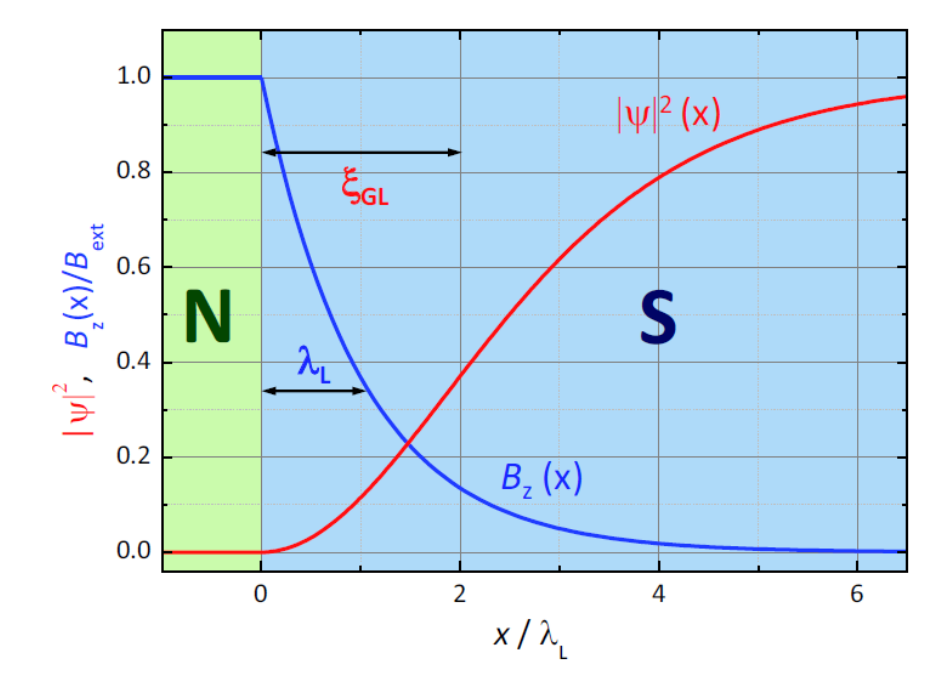
$$\kappa \equiv \frac{\lambda_{\rm GL}}{\xi_{\rm GL}} = \sqrt{\frac{2m_s^2\beta}{\mu_0\hbar^2q_s^2}} = \sqrt{\frac{\beta}{2\mu_0}} \frac{1}{\mu_{\rm B}} \qquad \Delta E_{\rm Grenz} = \Delta E_C + \Delta E_B \simeq \frac{B_{\rm cth}^2}{2\mu_0} \left[\xi_{\rm GL} - \left(\frac{B_{\rm ext}}{B_{\rm cth}} \right)^2 \lambda_{\rm GL} \right]$$

 $\xi_{\rm GL} > \lambda_{\rm GL}$: $\Delta E_{\rm grenz} > 0$ für $0 \leq B_{\rm ext} \leq B_{cth}$

- Grenzflächen ungünstig \rightarrow Meißner-Zustand für $0 \le B_{\text{ext}} \le B_{\text{cth}}$
- Typ-I-Supraleiter

 $\xi_{GL} < \lambda_{GL}$: $\Delta E_{grenz} < 0$ für $B_{c1} \le B_{ext} \le B_{c2}$

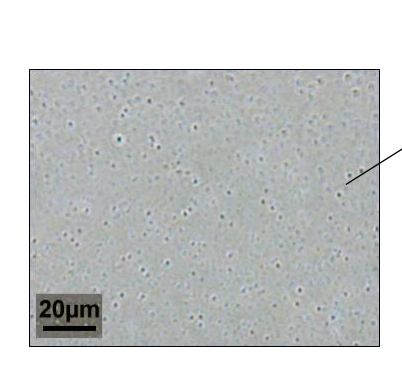
- Grenzflächen günstig \rightarrow Mischzustand für $B_{c1} \le B_{\text{ext}} \le B_{c2}$
- Typ-II-Supraleiter



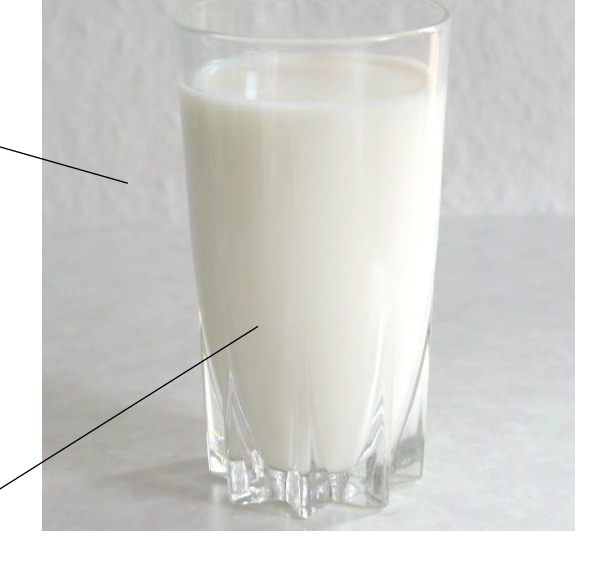
$$\kappa \leq \frac{1}{\sqrt{2}}$$

$$\kappa \ge \frac{1}{\sqrt{2}}$$

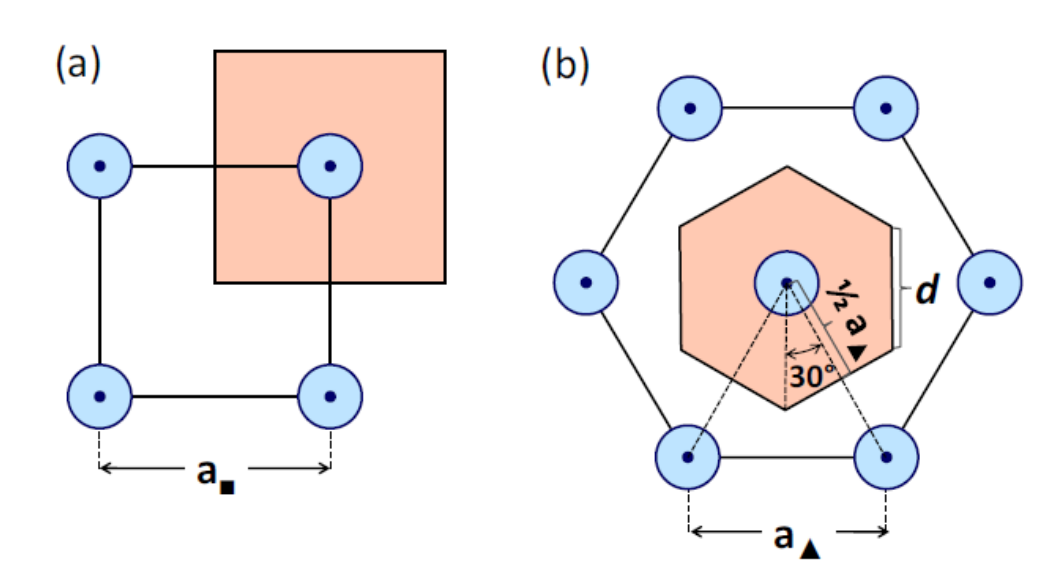
 $\kappa \le \frac{1}{\sqrt{2}}$ Typ-I Supraleiter $\kappa \ge \frac{1}{\sqrt{2}}$ Typ-II Supraleiter





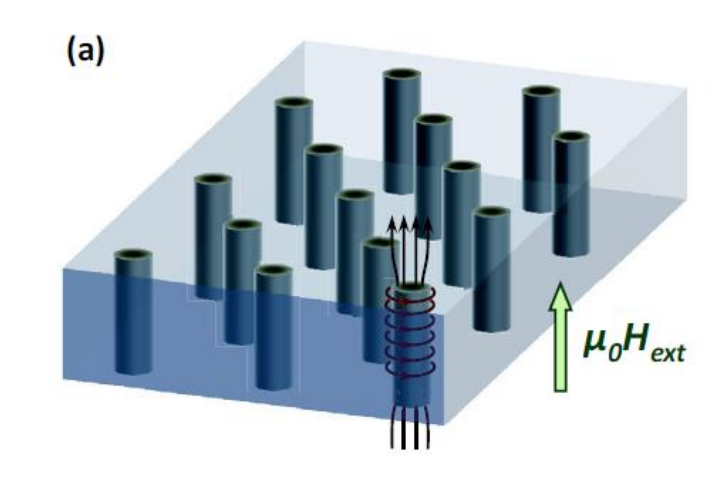


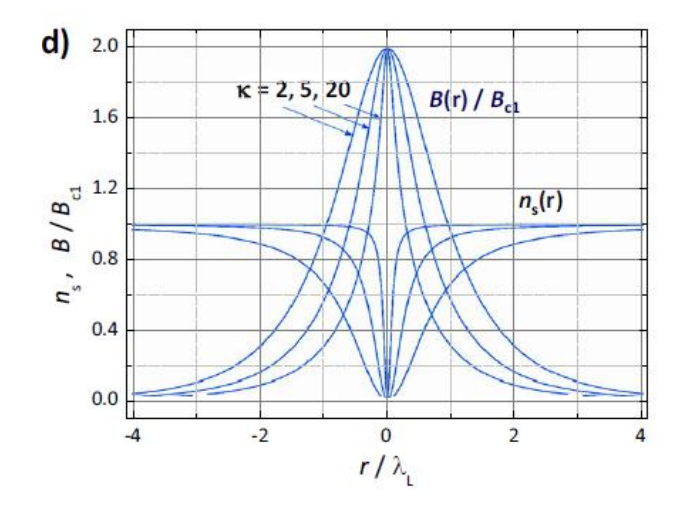
- Wie sieht die räumliche Verteilung der magnetischen Flussdichte in der Shubnikov-Phase aus?
- nur qualitative Diskussion (quantitative Diskussion erfordert numerische Lösung der GL-Gleichungen)
- da Grenzflächenenergie für $B_{c1} \le B_{\rm ext} \le B_{\rm c2}$ negativ ist, wird Fluss in möglichst viele kleine Portionen aufgeteilt, um Grenzfläche groß zu machen.
- untere Schranke wird durch Flussquant Φ_0 festgelegt
- Flussquanten verhalten sich wie parallel ausgerichtete Stabmagnete
 - → stoßen sich ab
 - → Anordnung mit möglichst großem Abstand wird bevorzugt
 - → optimal ist *hexagonales Flusslinien-Gitter* → *Abrikosov Vortex-Gitter*



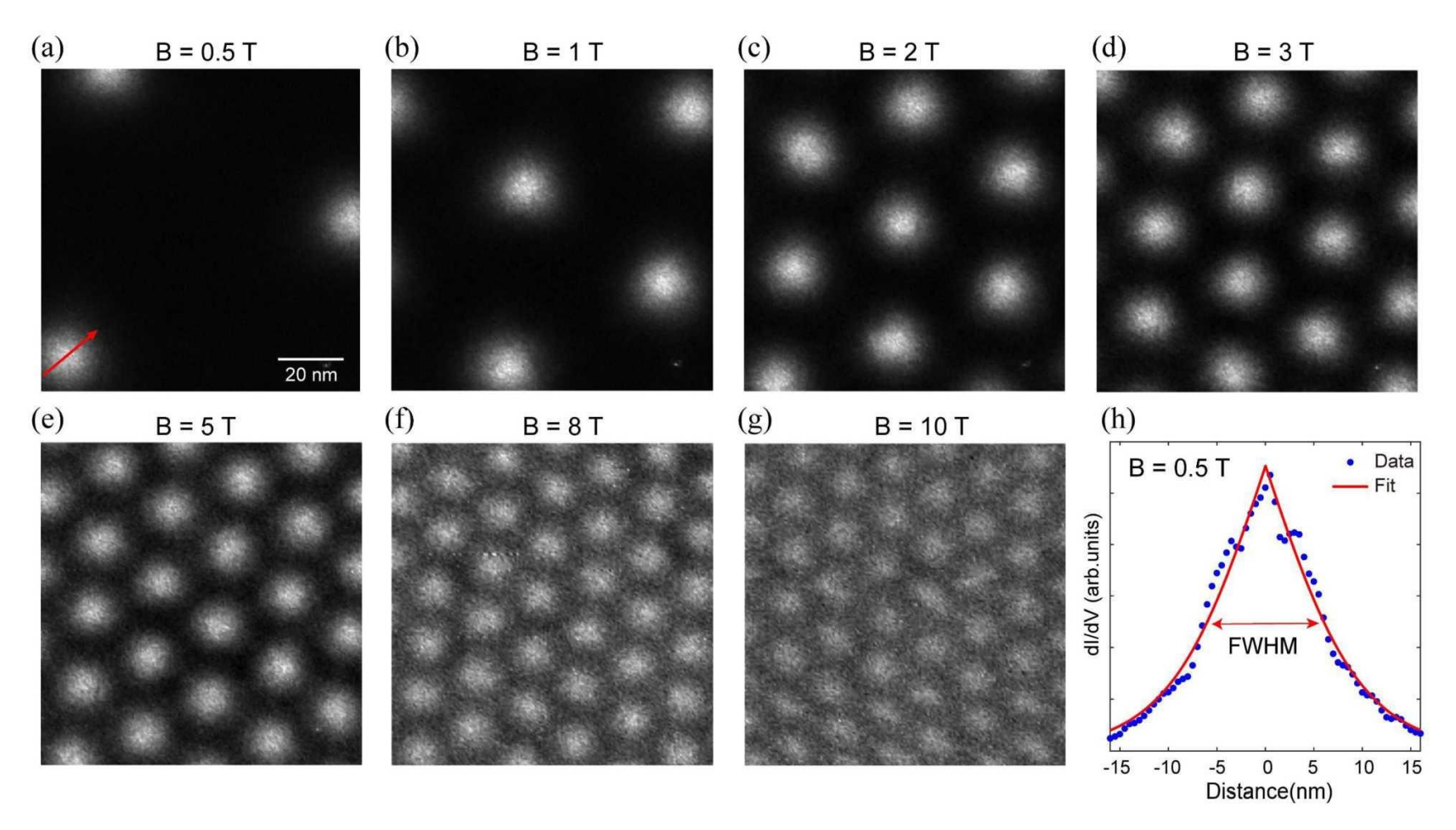
Wie sieht die räumliche Verteilung der magnetischen Flussdichte in der Shubnikov-Phase aus?

 Schematische Darstellung des Flussliniengitters in einem Typ-II Supraleiter. Für eine einzelne Flusslinie sind exemplarisch der Flusslinienverlauf und die ringförmigen Abschirmströme skizziert.





• radialer Verlauf von $n_s(r)$ und $B(r)/B_{c1}$ in einer isolierten Flusslinie (nach E. H. Brandt, Phys. Rev. Lett. 78, 2208 (1997))



Vortex imaging on V₃Si (111) surface.

Dekoration des Flussliniengitters



U. Essmann,

H. Träuble (1968)
MPI Metallforschung

Nb, T = 4 K

1mm dicke Scheibe, 4 mm ø

 $B_{\text{ext}} = 985 \text{ G}, \text{ a } = 170 \text{ nm}$

REM-Aufnahmen nach Dekoration mit Fe-Dampf (Bitter-Technik)

D. Bishop, P. Gammel (1987)

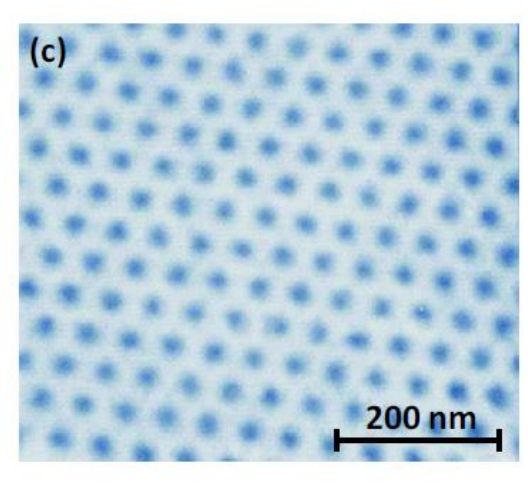
AT&T Bell Labs

 $B_{\text{ext}} = 20 \text{ G}, a = 1200 \text{ nm}$

ähnliche Experimente:

L. Ya. Vinnikov, ISSP Moscow

G. J. Dolan, IBM NY



Vgl. STM

Zusammenfassung

I. London-Modell (Zweiflüssigkeiten-Modell)

II. Supraleitung als makroskopisches Quantenphänomen

III. Ginzburg-Landau Theorie







